

# ÉRZÉKELŐK I

Dr. Pődör Bálint

Óbudai Egyetem KVK Mikroelektronikai és Technológia Intézet

## 4. ELŐADÁS: HŐMÉRSÉKLETÉRZÉKELŐK I



2010/2011 tanév 2. félév

1

## 4. ELŐADÁS

1. Hőmérésékleterzékelők, általános bevezető
2. Hőtani alapok
3. Sugárzásos hőmérésékleterzékelés
4. Piroelektromos hőmérésékleterzékelés

2

## HŐMÉRSÉKLET MÉRÉS ÉS ÉRZÉKELÉS

A hőmérésékleterzékelőt az iparban a leggyakrabban mért paraméter.

A hőmérésékleterzékelőt villamos jelével való átalakításának, és így a hőmérésékleterzékelőnél elektromos úton való érzékelésének és mérésének hármon klasszikus eszköze

- a termelőm,
- az ellenállás-hőmérő
- és a termisztor.



A termoelem generátor típusú, a másik kettő pedig modulátor típusú érzékelő.



## HŐMÉRSÉKLETÉRZÉKELÉS: IPAR

**Thermistance** (RTD - resistance temperature detector): metal whose resistance depends on temperature:

☺ cheap, robust, high temperature range (-180°C ... 600°C),

☺ require current source, non-linear.

**Thermistor** (NTC - negative temperature coefficient): semiconductor whose resistance depends on temperature:

☺ very cheap, sensitive,

☺ low temperature, imprecise, needs current source, strongly non-linear, fragile, self-heating

3

4

## HÓMÉRSÉKLETÉRZÉKELÉS: IPAR

**Thermo-element** (*Thermoelement, thermocouple*):  
pair of dissimilar metals that generate a voltage proportional to the temperature difference between warm and cold junction (Seebeck effect)

- ⌚ high precision, high temperature, punctual measurement
- ⌚ low voltage, requires cold junction compensation, high amplification, linearization

5

## HÓMÉRSÉKLETÉRZÉKELÉS: IPAR

**Spectrometer:**  
measures infrared radiation by photo-sensitive semiconductors

- ⌚ highest temperature, measures surfaces, no contact
- ⌚ highest price

**Bimetal** (*Bimetallic, bilame*):  
mechanical (yes/no) temperature indicator using the difference in the dilatation coefficients of two metals, very cheap, widely used (toasters...)

6

## IPARI HÓMÉRSÉKLET-ÉRZÉKELÉS

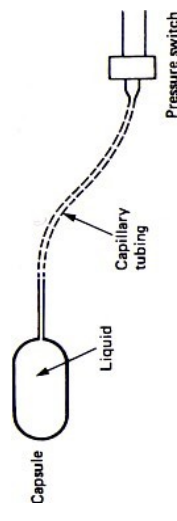
The slide contains the following sections:

- Other Thermal Sensors**: A list of sensor types including:
  - Bimetal strips
  - Gas thermometers
  - Vapor-pressure thermometers
  - Solid-state temp sensors
- How to measure T: Bi-metal**: A diagram showing a bimetal strip with two different metals joined together. It illustrates how the strip bends as temperature changes, with labels for "Cold" and "Higher expansivity metal".
- Classical measurement due to thermal expansion**: A diagram of a bimetallic thermometer showing a coiled strip with a bulb at one end and a pointer at the other.
- Thermal expansivity of metals:** A graph showing the linear relationship between temperature and thermal expansion coefficient for various metals.
- $\delta l / l = 1 \dots 2 \cdot 10^{-5} / K$** : A formula for calculating thermal expansion.
- Still in use for simple thermometers and thermostats**: A photograph of several analog thermometers and thermostats.
- Large hysteresis**: A diagram showing a bimetal strip with a large deflection angle, indicating significant hysteresis.
- In microsystems used as actors**: A photograph of a microsystem component with several small circular actuators.
- There are many unwanted bimetals which cause thermal stress**: A diagram showing a bimetal strip with a large deflection angle, labeled "Lower expansivity metal" and "Higher expansivity metal".

7

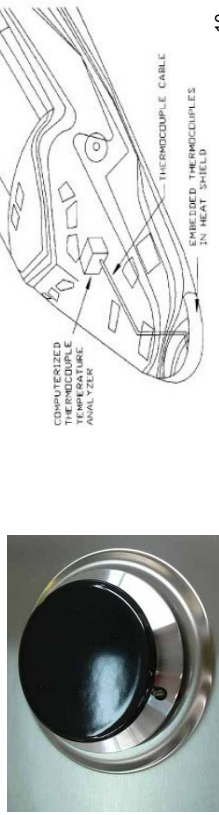
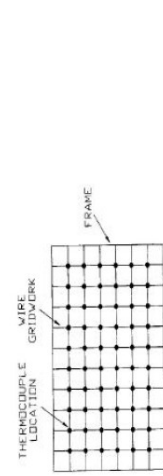
# FOLYADÉK/GÁZ HŐMÉRŐ

Expansion of a fluid or gas  
Conventional thermometer with mercury or alcohol  
Gas thermometer is standard method  
Application: T switch in old fridges



9

Ürtechnológiában  
Thermocouple grid applied space shuttles froid end

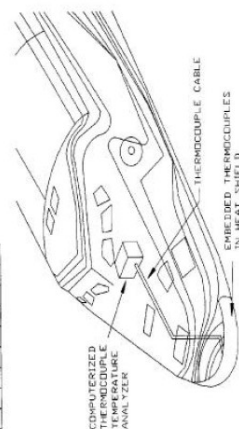


10

# TERMOLEM: ALKALMAZÁS

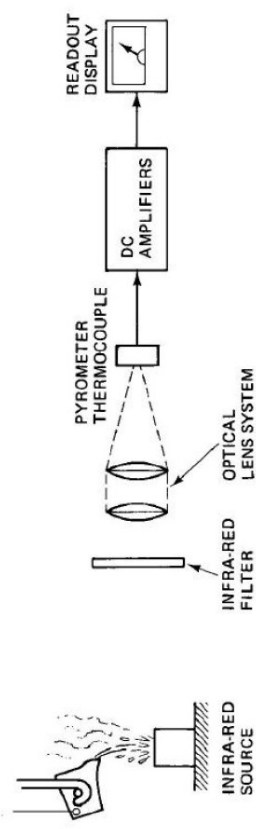
Ürtechnológiában

Thermocouple grid applied space shuttles froid end



# SUGÁRZÁSÉRZÉKELŐS T MÉRÉS

Pyrometer using thermopile circuit  
Thermopile - a circuit arranged of a number of thermocouples in series



11

# HŐMÉRSÉKLET ÉS ENERGIA

Egy fizikai rendszer vagy állapotát a rendszer belső energiájával lehet jellemzni. Ez egy szerkezeti energia, az illető rendszer mint makroszkópikus test mozgási (kinetikus) és potenciális energiaja nem számítandó hozzá. A hőméréséket mely egy termodinamikai "intenzív" paraméter a belső energiával áll kapcsolatban.

Az energia és a hőméréséktől skálák közötti összefüggés

$$E = kT$$

$k$  – Boltzmann állandó  $1,38 \times 10^{-23}$  Joule/K .

12

## A HŐMÉRSÉKLET SI MÉRTÉKEGYSÉGE

## HŐMÉRSÉKLETI SKÁLÁK

A hőméréséklel SI mértékegysége a **kelvin** (K).

Definicíója: a víz ( $H_2O$ ) hármaspontja (termodynamikai) hőmérésékletének  $1/273,16$  –szorosa. Abszolút skála, mely a Carnot-féle körfolyamat hatásfoka, vagy az ideális gáz állapotegyenlete ( $pV = RT$ ) szerint lehet definiálni.

A **m**, **kg**, **sec**, **A**, és a **cd** mellett az SI mértékrendszer hatodik alapegysége.

Temperature Unit	K	°R	°F	°C
Zero thermal energy	0		-459.6	-273.15
Water melting point, $T_m$	273.15	0	32	0
Water boiling point, $T_b$	373.15	80	212	100

Abszolút (termodynamikai, **Kelvin**) és relatív (**Réaumur**, **Fahrenheit**, **Celsius**) skálák. A relatív skálák alappontjai a víz olvadás- és forráspontja. A víz olvadáspontja  $0^\circ$  (R,C), illetve  $32^\circ$  (F), a forráspont és az olvadáspont közötti távolságot pedig  $80$ ,  $180$  illetve  $100$  részre osztják.

13

14

### Celsius-skála

- Bevezetője: Anders Celsius
- 0 értéke: olvadó jég hőméréséklete
- 100 értéke: forrásban lévő víz hőméréséklete
- Mértékegysége: °C fok (Celsius-fok)
- Jele: t
- Legelterjedtebb skála az európai kontinensen

### Réaumur-skála

- Bevezetője: René Antoine Ferchault de Réaumur
- 0 pontja: a víz fagyásponja
- Másik alappontja: víz forráspontja
- Alappont tartomány felosztása: 80 egység
- Csak történeti jelentősége van

## Fahrenheit-skála

- Bevezetője: Gabriel Daniel Fahrenheit
- 1700-as évektől használják az amerikai kontinenzen
- Nulla pontja: legjobban lehűlő sós oldat fagyáspontja (így a víz fagyáspontja 32 fok)
- Másik alappontja: emberi test hőmérséklete
- Alap-pontok tartományát 96 egységre osztotta
- Mértékegysége: °F (Fahrenheit-fok)

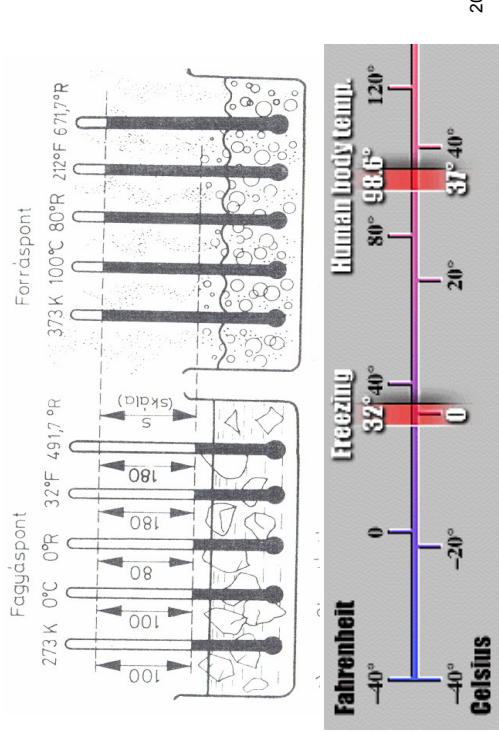
## Kelvin-skála

- Bevezetője: William Thomson (majd Lord Kelvin)
- Nulla pontja: abszolút nulla fok (-273,15 C°)
- Skálája: abszolút hőmérsékleti skála
- Egysége: megegyezik a Celsius skála egy fokával
- Mértékegysége: K (kelvin)
- Jele: T

## Rankine-skála

- Bevezetője: William John Macquorn Rankine
- 0 pontja: abszolút nulla
- Egysége: megegyezik a Fahrenheit egységgel
- Mértékegysége: °R (rankine-fok)
- Ritkán használják

## HŐMÉRSÉKLETI SKÁLÁK ÖSSZEHASONLÍTÁSA



## NEMZETKÖZI HŐMÉRSÉKLÉTI SKÁLA

Mivel és hogy mérünk hőmérsékletet?

Für pontok	K	hozzárendelt hőmérséklet °C
Hidrogen harmasponja	13,81	-259,34
Argon harmasponja	83,8058	-189,3442
Víz harmasponja	273,16	0,01
Víz forrasponja	373,15	100
Ón olvadásponja	505,078	231,9228
Cink dermedésponja	692,677	419,527
Alumínium olvadásponja	933,473	660,323
Ezüst dermedésponja	1234,93	961,78
Arany dermedésponja	1337,33	1064,18

Az alappontok fizikai realizációja

## FAJHÓ ÉS HŐKAPACITÁS

A fajhő az a hőmennyiség (energia) mely ahhoz szükséges, hogy egységnyi tömegű anyag hőmérséklete egy fokkal (K vagy °C emelkedjék.

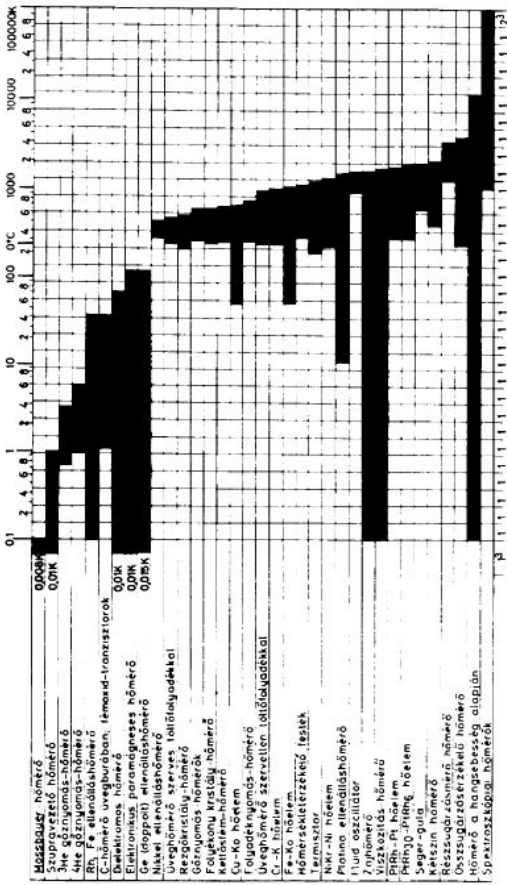
$$c = \frac{\partial Q}{\partial T}$$

dimenziója Joule/kg K

A hőkapacitás a tömeg és a fajhő szorzata

$$c_{th} = c \cdot m$$

dimenziója Joule/K



21

## HŐÁTADÁS

A hőátadás befolyásolja a hőmérsékletérzékelők működését. A hőmérsékletérzékelő általában a **saját hőmérsékletüköt** mérik, és a hőátadási viszonyoktól függ, hogy ez mennyire egyezik meg a méréndő objektum hőmérsékletével, illetve mennyire tér el attól.

Hőátadás mechanizmusai:

- hővezetés;
- hőáramlás (konvekció);
- hősugárzás.

23

24

## HŐÁRAMLÁS (KONVEKCIÓ)

## HŐVEZETÉS

A hőáramlás a hőterjedés egyik módja:

A folyadékokban, illetve gázokban a hő (energia) az anyag részecskéinek (molekulák) elmozdulása (helyváltoztatás, áramlás) révén terjed.

Magasabb hőmérséklet - nagyobb energiájú részecskék

Alacsonyabb hőmérséklet - kisebb energiájú részecskék

25

Fizikai mechanizmus:

Közvetlenül érintkező, különböző hőmérsékletű anyagrészecskék közötti hőkicscerelődés. A hő a magasabb hőmérsékletű helyről az alacsonyabb hőmérsékletű hely felé áramlik.

$$\varnothing Q = \kappa \varnothing T A t / I$$

$\kappa$	- hővezetési együttható W/m K
$\varnothing T$	- hőmérséklet-külonbség
$A$	- áramlási keresztmetszet
$t$	- áramlási hossz
	- idő

26

## HŐVEZETÉS: ELEKTROMOS ANALÓGIA

Hővezetés "Ohm törvénye"

$$\varnothing Q / t = \varnothing P = \kappa \varnothing T A / I$$

Hőtani paraméter	Elektromos paraméter
Hőmérséklet ( $\varnothing T$ )	Feszültség (U)
Hőáram ( $\varnothing P = \varnothing Q / t$ )	Áram (I)
Hővezetőképesség ( $\kappa$ )	Vezetőképesség ( $\sigma$ )
Stb.	

## HŐVEZETÉSI EGYÜTTTHATÓ

Anyag  $\kappa$  (W/cm K)  $T = 300$  K

C (gyémánt)	6,6
Ag	4,18
Cu	3,85
GaN	1,3
Si	1,5
GaAs	0,46
Ge	0,6
Pb	0,38
SiO <sub>2</sub>	0,014

27

28

## HŐVEZETÉS MECHANIZMUSAI

## HŐSUGÁRZÁS

Rácsrezgések (fononok) és szabad elektronok (lyukak).

Fémek jól elektromos és hővezetők,  $\kappa$  és  $\sigma$  arányos egymással ([Wiedemann-Franz törvény](#)).

Egykristályok (félfelvezetők is) általában jó hővezetők.

Amorf, polikristályos anyagok, ötvözétek (rendezetlen szerkezetű anyagok általában) rossz hővezetők.

29

Sugárzás(EM) elnyelés és kibocsátás (kb. 1 – 100 nm).  
[Stefan-Boltzmann törvény](#):

$$Q = \varepsilon \sigma T^4$$

- $\varepsilon$  - emissziós tényező ( $<1$ )  
 $\sigma$  - abszolút fekete test sugárzási tényezője  
(Stefan-Boltzmann állandó,  $\sigma = \frac{\pi^2 K^4}{60 h^3 c^2}$ )  
 $= 56,7 \times 10^{-9} \text{ W/m}^2 \text{K}^4$ )

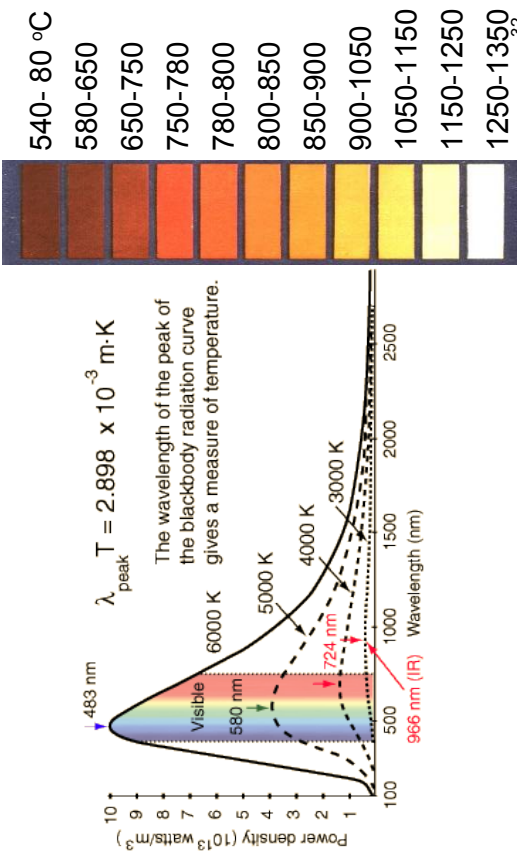
30

## HŐMÉRSÉKLÉTI SUGÁRZÁS

Az anyagi testek hőmérsékletükől függően elektromágneses sugárzást bocsátanak ki. A kibocsátott EM (fény) energia a hőmérséklettel emelésével rohamosan (az abszolút hőmérséklet negyedik hatványával) nő. A sugárzás spektruma a teljes  $(0, \infty)$  tartományra kiterjed, és a spektrális maximum helye hullámhosszban az abszolút hőmérséklettel fordítva arányos.

Alapvető fizikai törvények:  
Planck féle sugárzási törvény  
Wien féle eltolódási törvény  
Stefan-Boltzmann törvény  
(Rayleigh-Jeans törvény)

## TERMIKUS SUGÁRZÁS SPEKTRUMA

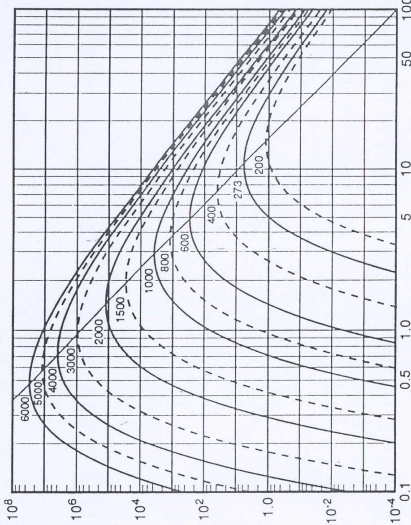


31

<sub>32</sub>

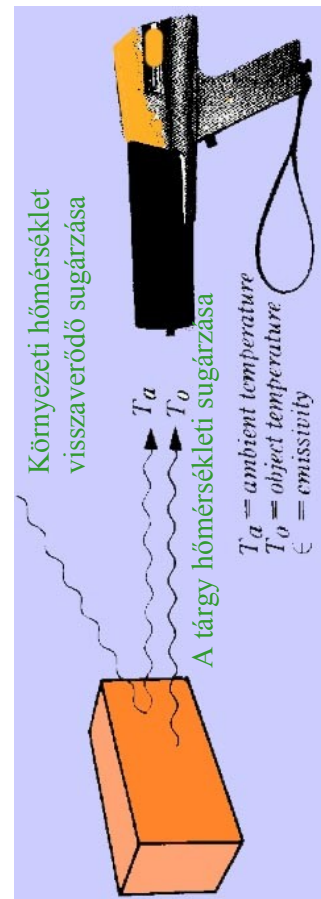
## FEKETE TEST SUGÁRZÁSA

## INFRAVÖRÖS SUGÁRZÁS



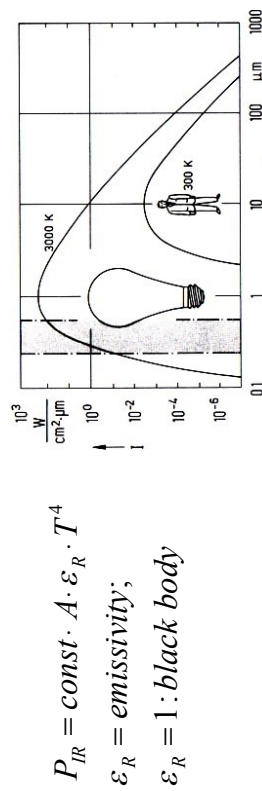
Egységes felületről egységes térszögbe egységes hullámhosszon ( $1 \text{ cm}$ ) kisugárzott teljesítmény a hullámhossz ( $\lambda$  cm) függvényében. Az egyenes a Wien-féle eltolódási törvény)

## PONTHÖMÉRSÉKLETMÉRÉS INFRAVÖRÖS (IR) SUGÁRZÁS ALAPJÁN



Minden tárgy elnyel (abszorbeál) és kibocsát (emittál) sugárzást.

A tárgy a hőmérésének megfelelő energia szinten bocsát ki energiát sugárzást, anyagától és felületi minőségétől függő mértékben.



At  $\lambda=10\mu\text{m}$  most materials show  $\epsilon = 0,95 \dots 1,0$  (except metals, they reflect)  
The sensor also emits IR radiation:

$$P_{IR} = const (\epsilon_{object} \cdot T_{Object}^4 - \epsilon_{sensor} \cdot T_{sensor}^4)$$

## TESTHÖMÉRSÉKLET ELOSZLÁS



A test hőméréséket eloszlását láthatóvá tevő kamera és képernyő.  
Az emberi test vizsgálatánál 2-3°C-os pontossággal lehet hőterképet készíteni Gyulladások, vérkeringési eltérések láthatóvá tehetők

## HŐÁTADÁS

A hővezetés, a hőáramlás és sokszor a hőszugárzás is együttesen történik. Ez az összetett jelenség a hőátadás.

A hőátadás fenomenológikus alapegyenlete

$$\Delta Q = \alpha A \Delta T t$$

$\Delta Q$  - átadott hő (energia) Joule  
 $\alpha$  - hőátadási tényező  $\text{W/m}^2\text{K}$   
A - érintkező felület  
 $\Delta T$  - hőmérsékletkülönbség  
 $t$  - hőcsere ideje

37

## HŐÁTADÁS

A hőátadás fenomenológikus alapegyenlete

$$\Delta Q = \alpha A \Delta T t$$

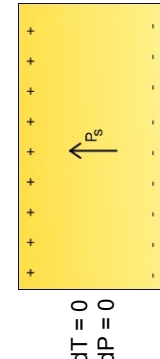
Szilárdtest-folyadék, illetve szilárdtest-gáz határfelületén csak nyugvó közegekre érvényes. Áramló folyadék vagy gáz esetén javul a hőátadás, **lamináris** áramlásnál kisebb, **turbulens** áramlásnál nagyobb mértékben. Az áramlási sebesség növekedésével  $\Delta Q$  is növekszik.

38

## PIROELEKTROMOS EFFEKTUS

Spontán polarizáció, illetve megváltozása hőméréséket hatására.

$$\Delta Q = p \times A \times \Delta T$$



## PIROELEKTROMOS EFFEKTUS

Piroelektromos együttható

$$p = \partial P / \partial T$$

Síkkondenzátorban dielektrumként elhelyezett piroelektromos anyag esetén

$$\Delta U = p d \Delta T / \epsilon_r \epsilon_0$$

Spontán polarizáció: piezoelektronos, ferroelektromos, elektret anyagok. Nyugalmi állapotban a töltéssel melegesség miatt nem észlelhető a polarizáció. Hőméréséket változás – polarizációváltozás, ez érzékelhető, utána "lecseng".

Nagy érzékenység  
Statikus mérés nem lehetséges

Anyagok: turmalin,  $\text{NaNO}_2$ ,  $\text{LiTaO}_3$ ,  $\text{TGS}$  (triglicin-szulfát)

40

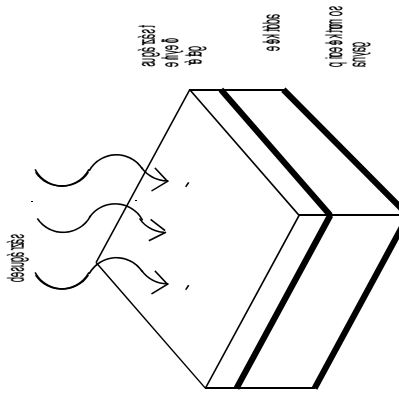
## PIROELEKTROMOS ANYAGOK

## PIROELEKTROMOS CELLA

	PVDF	NaNO <sub>2</sub>	LiTaO <sub>3</sub>	TGS*
p (10 <sup>-4</sup> Cm <sup>-2</sup> K <sup>-1</sup> )	0.25	0.4	1.8	2.8
Permittivity, $\epsilon_r$	9	4	47	38
c <sub>th</sub> (10 <sup>6</sup> Jm <sup>-3</sup> K <sup>-1</sup> )	2.3	2.2	3.2	2.3
g <sub>th</sub> (W/mK)	0.14	2.2	3.9	0.65

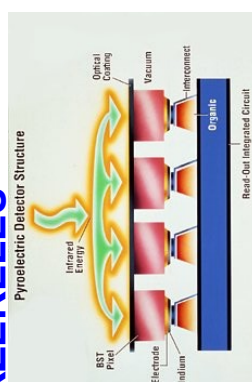
\*TGS = Triglycine sulphate

41



42

## PIROELEKTROMOS HŐMÉRSÉKLETÉRZÉKELÉS

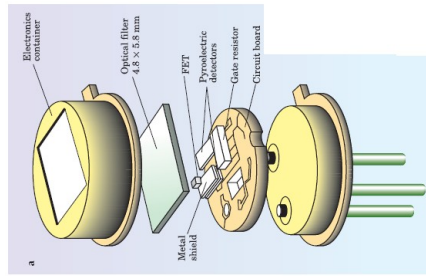


Insulator wafer Triglycine surface-D  
Temperature dependent electric polarization  
Generally disappears when electric field is removed

For pyroelectric materials  
T dependent capacitor is created  
Fast response time  
Usage  
FT-IR detector  
Night vision system

43

## PIROELEKTROMOS DETEKTOROK



44

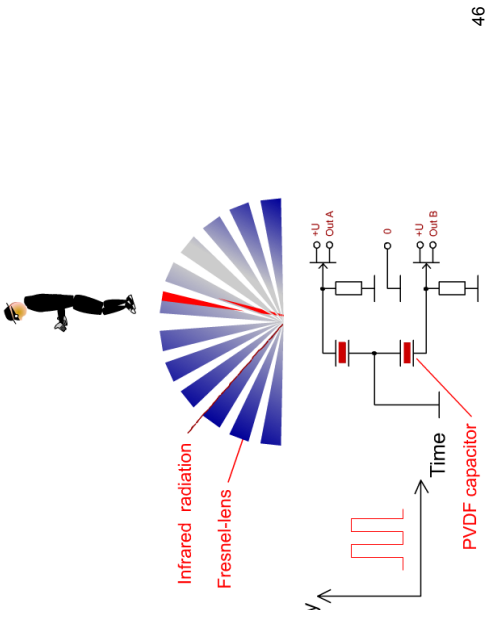
44

## SUGÁRZÁS MÉRÉS

Kis T változás is jó mérhető hatást idéz elő. Leginkább hőmérőkletérzékelésre használható, közvetve nagy pontosságú távhőmérőklet-mérést tesz lehetővé (hőszugárzás a felületi hőmérséklet függvénye). Statisztikus megfigyelés a sugárzás mesterséges megszakításával, pl. forgótárcsával.

Alkalmas pl. mozgásdetektor, piroelektromos IR vidikon

45

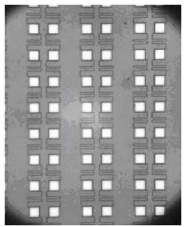


46

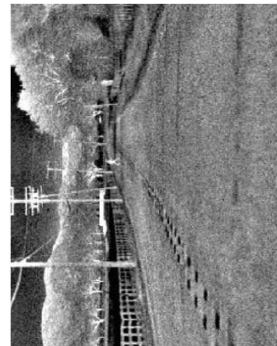
## MOZGÁS ÉRZÉKELÉS

## DETECTOR ARRAYS

1-D linear arrays:



infrared gas detectors arrays:  
capnography



2-D arrays:

high quality IR images  
fire fighting  
land mine detection  
process control  
facial recognition  
traffic control

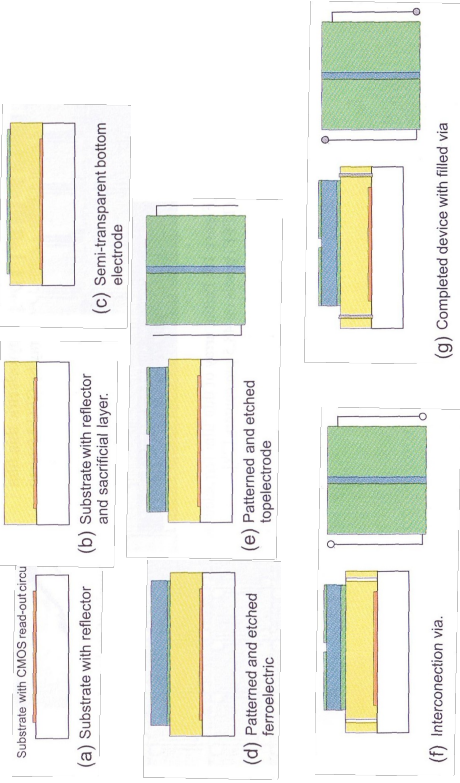
## FABRICATION TECHNOLOGY

Two main concepts:

Hybrid assembly  
Thermal insulation  $\rightarrow$  cantilever formed using micromachining techniques

Micromachining techniques:  
Bulk micromachining  $\rightarrow$  linear arrays  
Surface micromachining  $\rightarrow$  2D arrays

## Fabrication process of a pyroelectric TFFE (thin film ferroelectric) pixel



## DIÓDA (PN ÁTMENET) HŐMÉRSÉKLETÉRZÉKŐ

Nyitóirányban előtérüljött és állandó árammal átájtott pn átmennetben eső feszültség függ a hőmérséklettől, a hőmérséklet növekedésével csökken. Ennek oka a pn átmennet telítési áramának hőmérsékletfüggése

$$I_{\text{sat}} \sim n_i^2 \sim \exp(-E_G/kT)$$

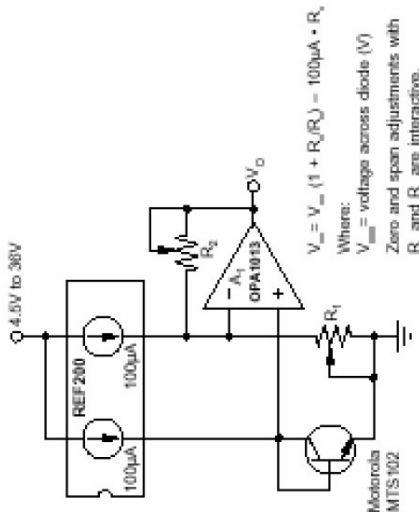
Si alapanyagra szobahőmérséklettől nem túl távol

$$(dU_D/dT) = \text{const} \oplus -2 \text{ mV/K}$$

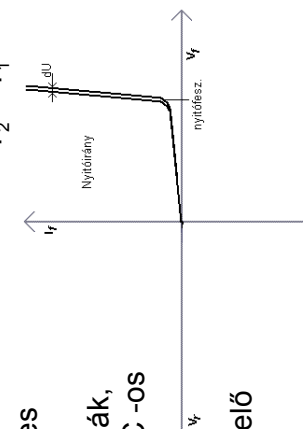
50

## Diódás Hőmérőszékelérzékelő

## MÉRŐKAPCSOLÁS



51



A leggyakrabban p-n átmennetes hőérzékelő a félvezető dióda. Ezeket széles körben használják, mert olcsók, és a -50...+150°C -os hőmérsékleti tartományt elfogadható linearitással és üzembiztosan mérik. Az érzékelő időallandója a dióda hőtérhosszúságétől függ és hűtőborda segítségével szinte tetszőlegesre növelhető

52

## TRANZISZTOR MINT ÉRZÉKELŐ

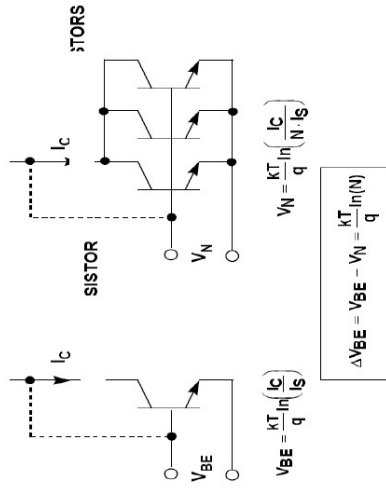
A diódákhoz hasonlóan a tranzisztor is alkalmazható hőmérésklet érzékelésre. Ekkor az emitter-bázis nyitófeszültség hőméréskletfüggését mérik úgy, hogy a kollektorráamot állandó értéken tartják, és a tranzisztor félidelt bázisú kapcsolásban működtetik. A tranzisztoroknál szűk a hőméréskletfüggés lineáris tartománya, viszont a kollektorráam változtatásával különböző hőmérésklettartományokra állítható be a linearitás.

53

54

## BIPOLÁRIS TRANZISZTOROS ÉRZÉKELŐ

## BÁZIS-EMITTER DIÓDA SZENZOR



Tranzisztoroknál a nyitóirányú bázis-emitter dióda  $I_c - U_{BE}$  karakterisztikáját lehet felhasználni.

## VÉGE

Bipoláris tranzisztorok felhasználása  
hőmérsékletmérésre:

- Két tranzisztor (az emitterek felülete A1 és A2) azonos árammal (áramtükör) táplálhatók
- a bázis-emitter feszültségek különbsége már csak a geometriai arányokat tartalmazza

$$\Delta U = \frac{kT}{q} \cdot \ln\left(\frac{A_2}{A_1}\right)$$

55

56

## **ÉVKÖZI DOLGOZAT: VÁLASZTHATÓ TÉMÁK**

1. Nyomásérzékelő alkalmazás: gépkocsi abroncs nyomás
2. Integrált mikroelektronikai bolometeres/termoelemes sugárzásérzékelő
3. Mikrofluidikai eszközök MEMS technológiával
4. CMOS optikai (kép) érzékelők
5. Vényomás érzékelő
6. Nukleáris sugárzás érzékelők
7. Ultraibolya sugárzásérzékelő
9. MEMS giroszkopok
9. GMR (tíriás mágneses ellenállásváltozás) alapú érzékelők
10. Pásztázószonás mikroszkóp (STM, AFM)
11. Infravörös optikai érzékelők, alkalmazások
12. Mozgásérzékelők (mikrohullámú, piroelektromos)
13. Érzékelő alkalmazások: robotika
14. Akusztikus hullámok érzékelése (mikrofonok)
15. Piroelektromos detektorok

57

58